DHS リアクターによる下水に含まれるジクロフェナクの除去性能評価

長岡技術科学大学大学院 非会員 ○曽我友希乃

正会員 渡利高大,山口隆司,幡本将史

木更津工業高等専門学校 正会員 大久保努

1. はじめに

近年,人口増加と医薬品使用量の増加に伴い, 医薬品による水質汚染が新たな環境問題として注 目されている.非ステロイド性抗炎症薬 (NSAIDs)の一種であるジクロフェナク (DCF) は,世界的に広く使用されており,下水処理水や 河川水中で頻繁に検出されている⁽¹⁾. 低濃度でも 水生生物への生物濃縮や毒性が報告され,微生物 群集における薬剤耐性遺伝子 (ARGs)の拡散が 懸念されている⁽²⁾.

DCF は芳香族構造と塩素基を有する難分解性物質であり、通常の活性汚泥処理では除去が困難である。一方、特定の細菌(Pseudomonas spp., Sphingomonas spp.) や白色腐朽菌(Trametes versicolor)がリグニン分解酵素を介して部分的に分解可能であるが、中間生成物の毒性が高い場合もある。さらに、不適切な医薬品廃棄により下水への流入が増加し、薬剤耐性菌の発生が懸念されている。

本研究では、好気・嫌気環境を併せ持つ Downflow Hanging Sponge (DHS) リアクターお よび upflow anaerobic sludge blanket (UASB)-DHS システムを用い、DCF を含む下水流入水の 処理特性を評価した。特に、DCF 濃度および COD 濃度の変化に着目し、リアクター構成によ る除去性能の違いを検討した。

2. 実験方法

本研究では、DHS リアクターおよび UASB-DHSシステムの2つのリアクターを設置した. 図1 にそれぞれのリアクターの概略図を示す.

2.1 DHS リアクター

DHS リアクターの微生物保持担体は、直径及び長さが 33 mm のポリウレタンスポンジを使用した. 19個の担体を1列に繋ぎ合わせ、総スポン

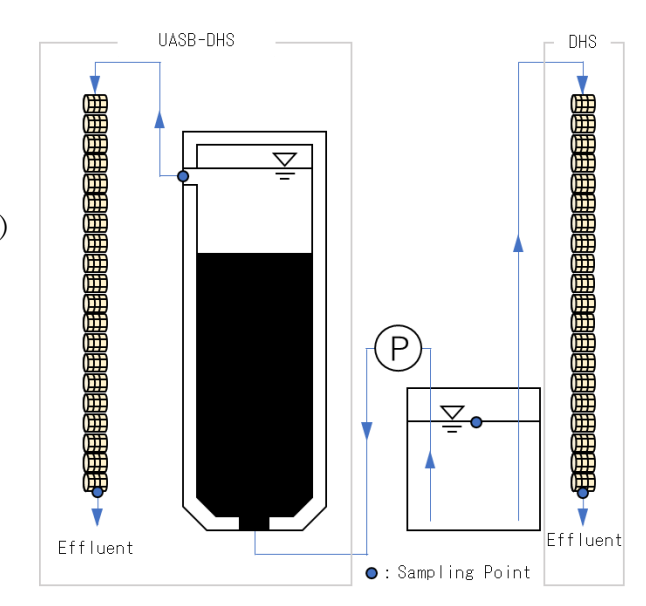


図1 リアクターの概略図

表1 リアクターの運転条件

リアクター	フェーズ	運転期間	HRT	流量	DFC濃度
		(day)	(h)	(ml/h)	(ppm)
	Phase 1	0-42	8.0	4.2	0.1
DHS	Phase 2	43-79	33.6	1.0	0.1
	Phase 3	80-120	33.6	1.0	10.0
_	Phase 1	0-42	10.7	4.2	0.1
UASB-DHS	Phase 2	43-79	33.6	1.0	0.1
	Phase 3	80-120	33.6	1.0	10.0

ジ容積を約 0.7L とした.

2.2 UASB-DHS システム

UASB リアクターは、2L容量のカラムを用い、 汚泥投入量はリアクター容積の約 60%とした. DHS リアクターは 2.1 の DHS リアクターと同様 の設計とした.

2.3 リアクターの運転条件

表 1 にリアクターの運転条件を示す流入水に用いる合成廃水の組成は、Choolaka ら $^{(3)}$ を参考にし、DFC を添加した。室温が 25° C程度に調整された 部屋で運転を行った。

2.4 水質分析

週に2回,流入水,DHSリアクターの流出水,UASB-DHSリアクターのUASB,DHS それぞれからの流出水の4つのサンプルを採取した.分析項目は、DO,水温、ORP、pH、DCF 濃度、全COD、溶解性COD、NH4濃度、NO2濃度、NO3濃度とした.

3. 結果および考察

リアクター処理性能

図 2、図 3 にそれぞれ、流入水および各リアクターからの流出水の DFC 濃度の経日変化、流入水および各リアクターからの流出水の COD の経日変化を示す。また、表 2 に各フェーズでの DFCおよび Soluble COD の平均除去率を示す。COD除去率はすべてのリアクターで 50%以上が維持されたことから、DFC は生物処理性能を阻害していないといえる。また、UASB リアクターの処理水では、2 mg/L 程度の除去が確認された。一方で、両システムで処理後に DFC 濃度の上昇がみられたが、これはリアクター内に蓄積した DFCが流出していることが考えられる。

4. おわりに

本研究では、DHS リアクターおよび UASB-DHS システムによる DFC の除去は確認できなかった。流入水に前処理を行うことや、DGC 生物分解を促す方法を検討し、引き続きリアクターの運転を行う。

参考文献

(1) Kawase, A et al., Involvement of Reactive Metabolites of Diclofenac in Cytotoxicity in Sandwich-Cultured Rat Hepatocytes. Int. J. Toxicol. 2017, 36, 260–267.

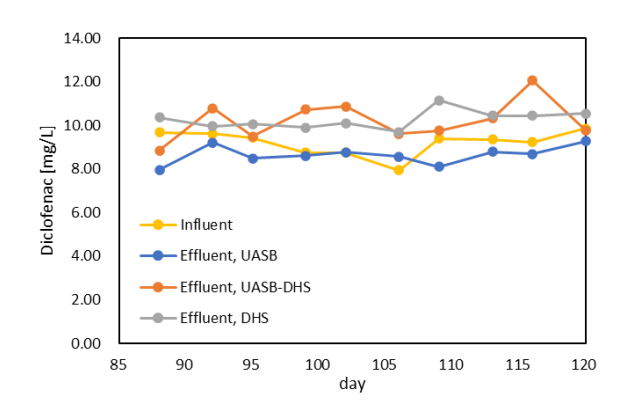


図 2 流入水および各リアクターからの流出水の DFC 濃度経日変化

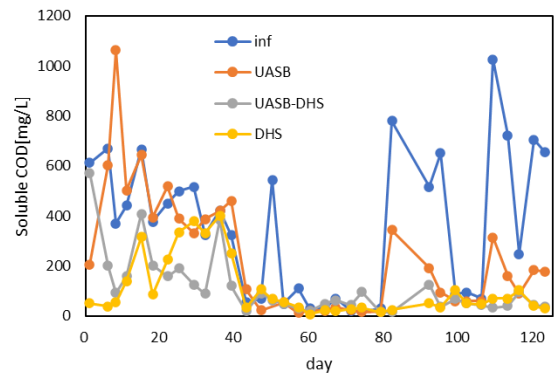


図3 流入水および各リアクターからの 流出水の COD 経日変化

表 2 各フェーズでの DFC および Soluble COD 平均除去率

	フェーズ	DHS	UASB-DHS
DFC removal rate	Phase 1	-	-
[%]	Phase 2	-	-
[70]	Phase 3	-12.4	-10.9
sCOD removal rate	Phase 1	53.9	52.2
[%]	Phase 2	61.3	55.9
[70]	Phase 3	86.7	85.0

- (2) Kylie B. Bodle et al., Treatment performance and microbial community structure in an aerobic granular sludge sequencing batch reactor amended with diclofenac, erythromycin, and gemfibrozil. Frontiers in Microbiomes, 2, 1242895.
- (3) Choolaka et al., Optimization of rotational speed and hydraulic retention time of a rotational sponge reactor for sewage treatment. Journal of Environmental Management 222, 2018, 155–163.